

# Линейные и квадратичные вклады EFT операторов в процессах одиночного рождения топ кварка.

**Вячеслав Буничев**

в сотрудничестве с Э.Э. Боосом

НИИЯФ им Скобелева МГУ им. Ломоносова

# Подход «эффективной теории поля»(SMEFT)

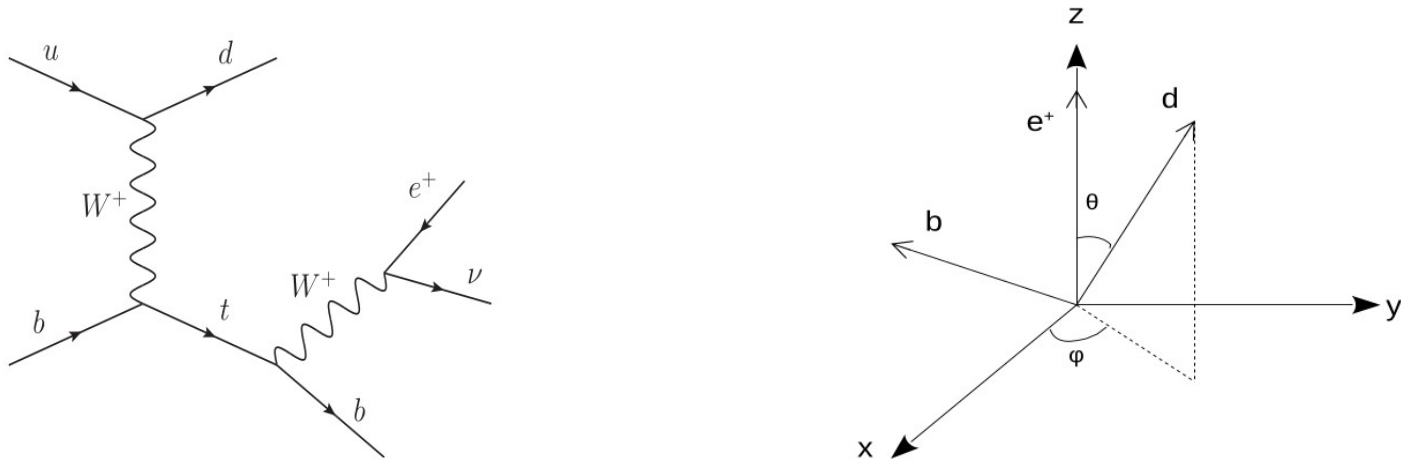
В настоящее время наиболее общим и популярным способом параметризации новой физики в исследуемых процессах является подход «эффективной теории поля»(SMEFT). В рамках этого подхода Лагранжиан Стандартной Модели дополняется операторами высших размерностей.

$$L_{eff} = L_0 + \frac{1}{\Lambda} L_1 + \frac{1}{\Lambda^2} L_2 + \dots$$

Указанные операторы получают путем функционального интегрирования по массивным модам гипотетических состояний, которые могут быть рождены на недоступных пока масштабах энергии. Эти операторы образуют базисный набор с помощью которого можно описать проявления различных сценариев «новой физики».

# Процессы одиночного рождения топ кварка

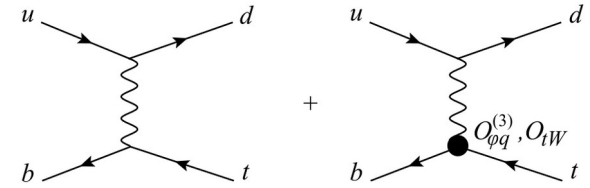
Во многих моделях параметры взаимодействия новых частиц с фермионами СМ пропорциональны массе этих фермионов. Поэтому изучение процессов с участием массивных фермионов третьего поколения таких как топ кварк представляет особый интерес. В электрослабых процессах топ кварк рождается сильно поляризованными, что обусловлено (V-A) структурой вершин таких взаимодействий. При распаде топ кварка его начальная поляризация транслируется на его продукты распада и проявляется в энергетических спектрах частиц из распада, а также в спиновых корреляциях между начальными и конечными состояниями. В t-канальном процессе одиночного рождения топ кварка, в его системе отчёта, направление спина топ-кварка сильно коррелирует с импульсом d-кварка.



$\theta$  — угол между импульсом заряженного лептона и направлением оси квантования спина топ-кварка (т.е. импульсом d-кварка), а  $\phi$  — угол в плоскости, перпендикулярной импульсу лептона, откладываемый от линии пересечения с плоскостью, образованной продуктами распада топ-кварка.

# SMEFT операторы, дающие вклад в процессы одиночного рождения топ кварка

Операторы размерности 6, модифицирующие  $Wtb$  вершину:



$$\mathcal{L} = -\frac{g}{\sqrt{2}}\bar{b}\gamma^\mu(f_{LV}P_L + f_{RV}P_R)tW_\mu^- - \frac{g}{\sqrt{2}}\bar{b}\frac{i\sigma^{\mu\nu}}{2M_W}(f_{LT}P_L + f_{RT}P_R)tW_{\mu\nu}^- + h.c.$$

Где:

$$f_{LV} = V_{tb} + C_{\phi q}^{(3,33)}\frac{v^2}{\Lambda^2}, \quad f_{RV} = \frac{1}{2}C_{\phi ud}^{(33)}\frac{v^2}{\Lambda^2}, \quad f_{LT} = \sqrt{2}C_{dW}^{(33)}\frac{v^2}{\Lambda^2}, \quad f_{RT} = \sqrt{2}C_{uW}^{(33)}\frac{v^2}{\Lambda^2}.$$

$$O_{\phi q}^{(3,33)} = \frac{i}{2} \left[ \phi^\dagger \tau^I (D_\mu \phi) - (D_\mu \phi^\dagger) \tau^I \phi \right] (\bar{q}_{L3} \gamma^\mu \tau^I q_{L3}),$$

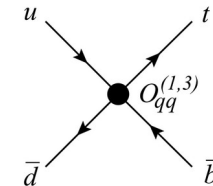
$$O_{\phi ud}^{(33)} = i(\tilde{\phi}^\dagger D_\mu \phi)(\bar{t}_R \gamma^\mu b_R),$$

$$O_{dW}^{(33)} = (\bar{q}_{L3} \sigma^{\mu\nu} \tau^I b_R) \phi W_{\mu\nu}^I,$$

$$O_{uW}^{(33)} = (\bar{q}_{L3} \sigma^{\mu\nu} \tau^I t_R) \tilde{\phi} W_{\mu\nu}^I,$$

Четырёх-фермионный эффективный оператор, дающий вклад в одиночное рождение топ кварка:

$$O_{qq}^{(1,3)} = (\bar{q}^1 \gamma_\mu \tau^I q^1)(\bar{q}^3 \gamma^\mu \tau^I q^3)$$

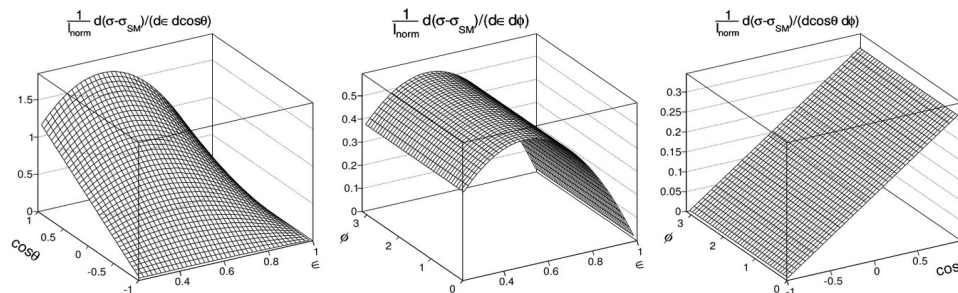


## Подход аномальных параметров взаимодействия.

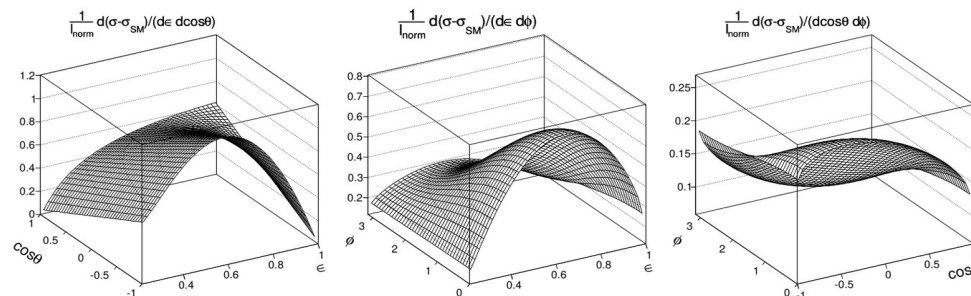
- В работе [E.Boos, V.Bunichev, Phys. Rev. D 101, 5, 055012 (2020)] впервые получены точные аналитические выражения для трижды и дважды дифференциального сечения полного процесса рождения топ кварка с последующим распадом ( $2 \rightarrow 4$ ).
- Выражения получены для системы отсчета топ кварка в виде функций энергии позитрона из распада топ кварка и углов ориентации спина топ кварка.
- Выражения получены с учетом спиновых корреляций между начальными и конечными состояниями, а также с учетом влияния SMEFT операторов, для общего случая комплексных параметров взаимодействия. При этом, были учтены аномальные члены всех порядков в числителе и знаменателе.
- Показано, что многомерные дифференциальные сечения существенно различаются для случаев вкладов разных SMEFT операторов, что позволяет в экспериментах идентифицировать сценарий новой физики.
- Эти выражения могут быть использованы для фитирования данных и установления ограничений на аномальные параметры взаимодействия.

# Многомерные дифференциальные сечения в подходе аномальных параметров взаимодействия.

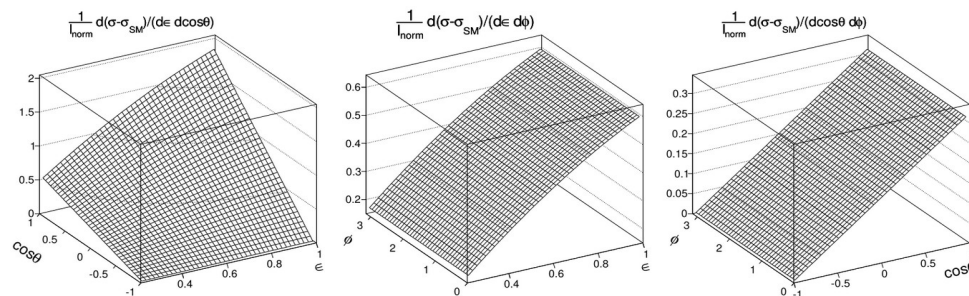
LV - сценарий



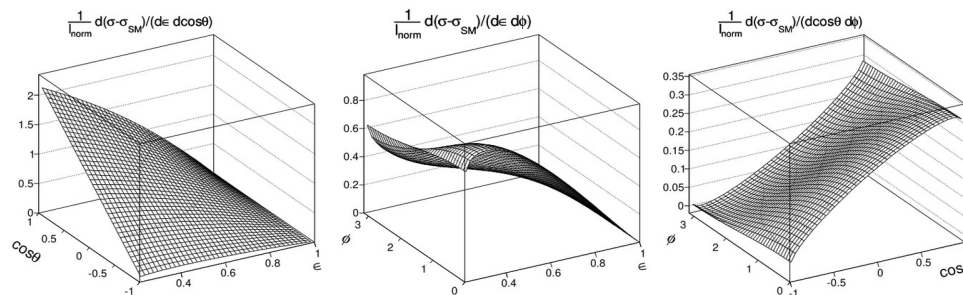
RV - сценарий



LT - сценарий



RT - сценарий



## Переход от подхода аномальных параметров взаимодействия к подходу SMEFT операторов

- Существуют естественные ограничения на использование операторов SMEFT для параметризации новой физики, которые следуют из условия пертурбативной унитарности. С ростом энергии взаимодействия, эффективные операторы приводят к росту вкладов, нарушающих унитарность. Чтобы расчеты были самосогласованными, мы должны проверить, что не рассматриваем кинематические области, где нарушена унитарность.
- С точки зрения подхода SMEFT, порядок новых вкладов необходимо согласовывать с масштабом доступной энергии, поэтому выражение для дифференциального сечения необходимо корректно разложить по порядку величины обратного масштаба новой физики с учётом переразложения знаменателя с шириной топ кварка, зависящей от констант операторов SMEFT.

## Оценка допустимой области параметров операторов SMEFT из условия унитарности S-матрицы.

Для оценки допустимой области параметров, применяют оптическую теорему, которая следует из унитарности S-матрицы. Оптическая теорема утверждает, что мнимая часть амплитуды рассеяния вперед пропорциональна полному сечению процесса.

$$\sigma = \frac{1}{s} \text{Im} (A(\theta = 0)) = \frac{16\pi}{s} \sum_{l=0}^{\infty} (2l + 1) |a_l|^2$$

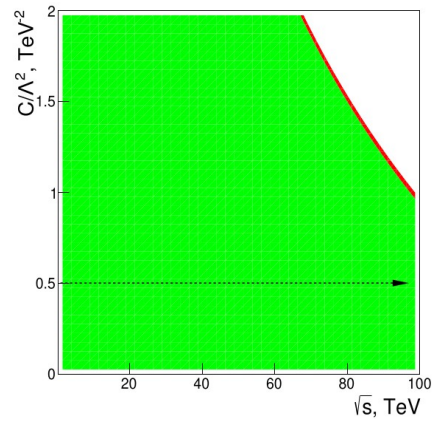
где  $a_l$  — амплитуда парциальной волны. Следовательно,  $\text{Im} a_l = |a_l|^2$  и:

$$|\text{Re}(a_1)|^2 + \left[ \text{Im}(a_1) - \frac{1}{2} \right]^2 = \frac{1}{4}$$
$$|\text{Re}(a_0)| < \frac{1}{2} \quad \text{где} \quad a_0 = \frac{1}{16\pi\lambda} \left| \int_{t_-}^{t_+} dt \cdot A \right|$$

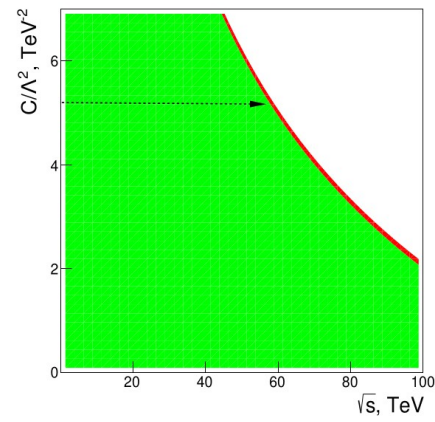
- В работе [E.Boos, V.Bunichev, *Phys. Part. Nucl. Lett.* **20, 3, 330-335 (2023)**] были вычислены соответствующие парциальные амплитуды для t-канальных и s-канальных процессов одиночного рождения топ-кварка с учетом аномальных SMEFT операторов, дающих вклад в  $Wtb$  вершину и в контактное 4-х фермионное взаимодействие.
- На основе полученных границ унитарности, используя последние экспериментальные ограничения на значения аномальных параметров, были определены значения кинематических обрезаний фазового объема для корректного моделирования указанных процессов на коллайдерах LHC и FCC.

# Оценка допустимой области параметров операторов SMEFT с учётом экспериментальных ограничений.

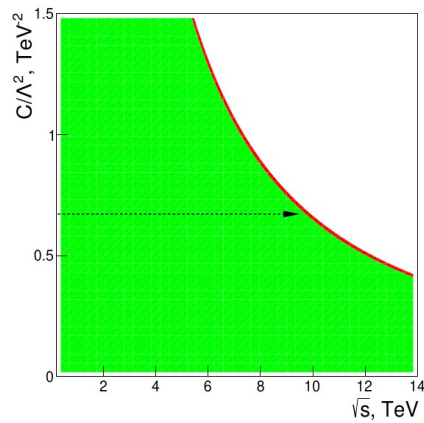
$O^{(3,33)}_{\varphi q}$  (LV - сценарий)



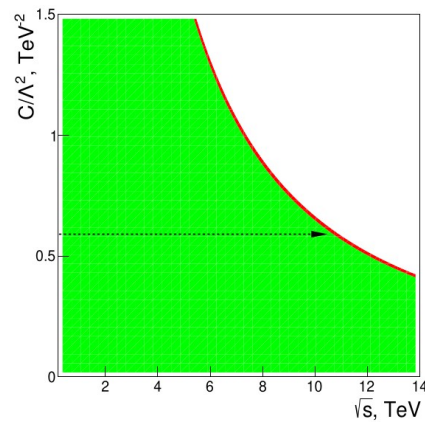
$O^{(33)}_{\varphi ud}$  (RV - сценарий)



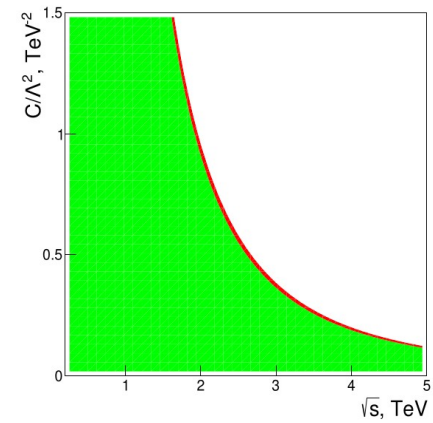
$O^{(33)}_{dW}$  (LT - сценарий)



$O^{(33)}_{uW}$  (RT - сценарий)



$O^{(1,3)}_{qq}$  (4f - сценарий)



## Разложение многомерного дифференциального сечения по константам коэффициентов Вильсона аномальных операторов.

Используя полученное выражение для многомерного дифференциального сечения и формулу Тейлора, запишем дифференциальное сечение в виде ряда разложения по константам коэффициентов Вильсона аномальных операторов, делённых на квадрат масштаба новой физики, с точностью до членов второго порядка. Группируя вместе члены разложения, соответствующие каждому аномальному оператору, получаем:

$$\frac{d\sigma_{ub \rightarrow db\nu e^+}}{d\epsilon \cdot d \cos \theta \cdot d\phi} = K_0 + \left( K_1^i \cdot \frac{C_i}{\Lambda^2} + K_2^i \cdot \frac{C_i^2}{\Lambda^4} \right) + \left( K_1^j \cdot \frac{C_j}{\Lambda^2} + K_2^j \cdot \frac{C_j^2}{\Lambda^4} \right) + \dots + K^{ij} \cdot \frac{C_i C_j}{\Lambda^4} + \dots$$

Введём обозначения:

$$F_1 = \frac{\alpha^2 \cdot V_{ud}^2}{8 \cdot 3 \cdot \sin^4 \Theta_W \cdot m_W^2 \cdot (1 - r^2)^2 (1 + 2r^2)} \cdot \frac{(\hat{s} - m_t^2)^2}{\hat{s}(\hat{s} - m_t^2 + m_W^2)}, \quad F_2 = \frac{m_t m_W}{s - m_t^2} \left( \frac{s - m_t^2 + m_W^2}{s - m_t^2} \ln \left| \frac{s - m_t^2 + m_W^2}{m_W^2} \right| - 1 \right),$$

$$\beta^2 = 1 - \frac{m_t^2}{\hat{s}}, \quad c(\epsilon) = \sqrt{(1 - \epsilon)(\epsilon - r^2)}, \quad \epsilon = 2E_{e^+}/m_t, \quad \epsilon_{max} = 1, \quad \epsilon_{min} = r^2, \quad r = m_W/m_t,$$

Тогда член разложения дифференциального сечения, соответствующий Стандартной модели будет иметь вид:

$$K_0 = V_{tb}^2 \cdot F_1 \cdot (1 - \epsilon) \cdot \epsilon \cdot (1 + \cos \theta)$$

## Разложение многомерного дифференциального сечения по константам коэффициентов Вильсона аномальных операторов (LV - сценарий).

Члены разложения, соответствующие оператору  $O_{\phi q}^{(3,33)}$ :

$$\frac{d(\sigma - \sigma_{SM})_{ub \rightarrow db\nu e^+}}{d\epsilon \cdot d \cos \theta \cdot d\phi} = \left( K_1^{\phi q} \cdot \frac{C_{\phi q}}{\Lambda^2} + K_2^{\phi q} \cdot \frac{C_{\phi q}^2}{\Lambda^4} \right)$$

$$K_1^{\phi q} = V_{tb} v^2 \cdot 2 \cdot F_1 \cdot (1 - \epsilon) \cdot \epsilon \cdot (1 + \cos \theta)$$

$$K_2^{\phi q} = v^4 \cdot F_1 \cdot (1 - \epsilon) \cdot \epsilon \cdot (1 + \cos \theta)$$

## Разложение многомерного дифференциального сечения по константам коэффициентов Вильсона аномальных операторов (RT - сценарий).

Члены разложения, соответствующие оператору  $O_{uW}^{(33)}$ :

$$\frac{d(\sigma - \sigma_{SM})_{ub \rightarrow db \nu e^+}}{d\epsilon \cdot d \cos \theta \cdot d\phi} = \left( K_1^{uW} \cdot \frac{C_{uW}}{\Lambda^2} + K_2^{uW} \cdot \frac{C_{uW}^2}{\Lambda^4} \right)$$

$$K_1^{uW} = V_{tb} \cdot 2\sqrt{2}v^2 \cdot F_1 \cdot (1 - \epsilon) \cdot \left[ (F_2 \cdot \epsilon + r) \cdot (1 + \cos \theta) + c(\epsilon) \cdot \sin \theta \cos \phi \right] - \frac{\sqrt{2}v^2}{V_{tb}} \cdot \frac{6r}{1 + 2r^2} \cdot K_0$$

$$K_2^{uW} = 2v^4 \cdot F_1 \cdot (1 - \epsilon) \cdot \left[ F_2 \cdot r \cdot (1 + \cos \theta) + \left( \left( \frac{s + 2m_W^2}{m_t m_W} F_2 - 2 \right) \epsilon + r^2 + 1 \right) \cdot (1 - \cos \theta) + \frac{2r^2}{\epsilon} \cos \theta + \left( F_2 + \frac{2r}{\epsilon} \right) c(\epsilon) \cdot \sin \theta \cos \phi \right] - \frac{2v^4}{V_{tb}^2} \cdot \frac{2 + r^2}{1 + 2r^2} \cdot K_0 + \frac{\sqrt{2}v^2}{V_{tb}} \cdot \frac{6r}{1 + 2r^2} \cdot K_1^{uW}$$

## Разложение многомерного дифференциального сечения по константам коэффициентов Вильсона аномальных операторов (интерференция LV и RT).

Члены разложения, соответствующий интерференции операторов  $O_{uW}^{(33)}$  и  $O_{\phi q}^{(3,33)}$ :

$$\frac{d(\sigma - \sigma_{SM})_{ub \rightarrow db\nu e^+}}{d\epsilon \cdot d \cos \theta \cdot d\phi} = K^{ij} \cdot \frac{C_{uW} C_{\phi q}}{\Lambda^4}$$

$$K^{ij} = 2\sqrt{2}v^4 \cdot F_1 \cdot (1 - \epsilon) \cdot [ (F_2 \cdot \epsilon + r) \cdot (1 + \cos \theta) + c(\epsilon) \cdot \sin \theta \cos \phi ] - \frac{\sqrt{2}v^4}{V_{tb}^2} \cdot \frac{6r}{1 + 2r^2} \cdot K_0$$

## Разложение многомерного дифференциального сечения по константам коэффициентов Вильсона аномальных операторов (LT - сценарий).

Члены разложения, соответствующие оператору  $O_{dW}^{(3,33)}$ :

$$\frac{d(\sigma - \sigma_{SM})_{ub \rightarrow db \nu e^+}}{d\epsilon \cdot d \cos \theta \cdot d\phi} = \left( K_1^{dW} \cdot \frac{C_{dW}}{\Lambda^2} + K_2^{dW} \cdot \frac{C_{dW}^2}{\Lambda^4} \right)$$

$$K_1^{dW} = 0$$

$$K^{ij} = 2v^4 \cdot F_1 \cdot \left( \left( \frac{s + 2m_W^2 - m_t^2}{m_t m_W} F_2 - 1 \right) \beta^2 \cdot (1 - \epsilon) + \epsilon - r^2 \right) \epsilon \cdot (1 + \cos \theta) - \frac{2v^4}{V_{tb}^2} \cdot \frac{2 + r^2}{1 + 2r^2} \cdot K_0$$

## Разложение многомерного дифференциального сечения по константам коэффициентов Вильсона аномальных операторов (RV - сценарий).

Члены разложения, соответствующие оператору  $O_{\phi ud}^{(33)}$ :

$$\frac{d(\sigma - \sigma_{SM})_{ub \rightarrow db \nu e^+}}{d\epsilon \cdot d \cos \theta \cdot d\phi} = \left( K_1^{\phi ud} \cdot \frac{C_{\phi ud}}{\Lambda^2} + K_2^{\phi ud} \cdot \frac{C_{\phi ud}^2}{\Lambda^4} \right)$$

$$K_1^{\phi ud} = 0$$

$$K_2^{uW} = \frac{v^4}{4} \cdot F_1 \cdot [$$



$$+ \left( \left( 2 + \frac{m_W^2}{s} - r \left( 1 + \beta^2 + \frac{2m_W^2}{s} \right) F_2 \right) \cdot (1 - \epsilon) \cdot \epsilon + r^2(2\epsilon - r^2 - 1) \right) \cdot (1 - \cos \theta)$$

$$+ \left( 1 - \frac{r^2}{\epsilon} \right) \cdot 2r (r \cdot \cos \theta + c(\epsilon) \cdot \sin \theta \cos \phi) ]$$

$$- \frac{v^4}{4V_{tb}^2} \cdot K_0$$

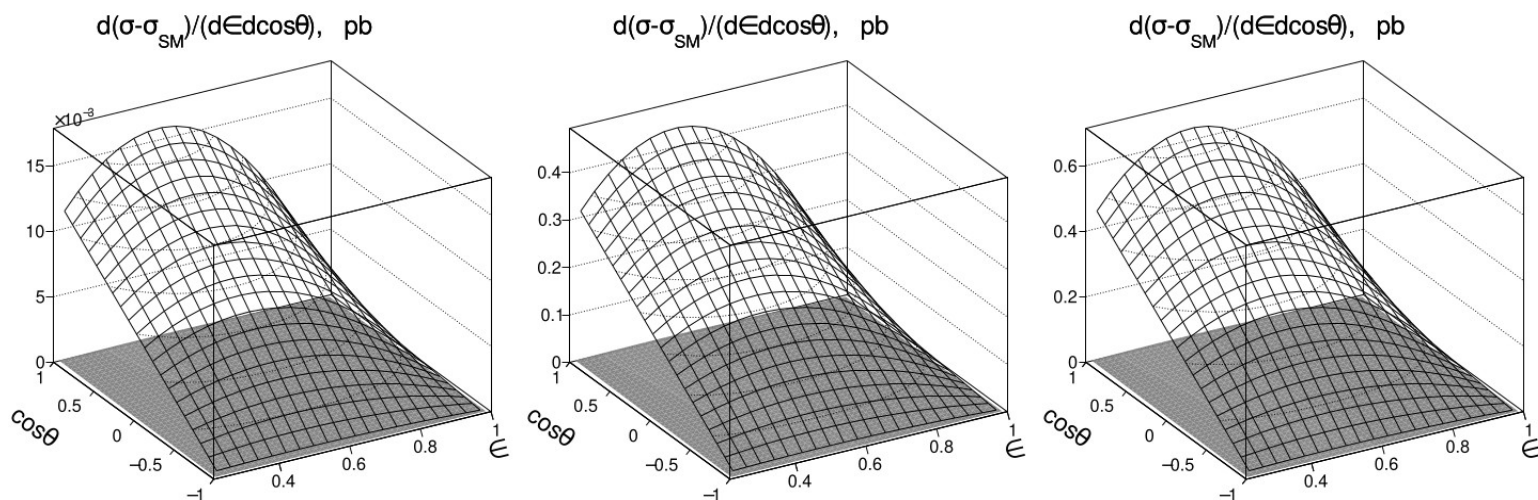
## Сравнительный анализ влияния членов разложения дифференциального сечения разных порядков по масштабу новой физики

- Используя полученные выражения для вкладов аномальных операторов и интегрируя по очереди по одной из переменных мы построили графики соответствующих двумерных дифференциальных сечений. Кроме того, были построены сравнительные графики, на которых одновременно изображены дважды дифференциальные сечения, соответствующие сумме компонент и отдельно только квадратичной компоненты.
- Серии таких графиков были построены для различных значений  $\hat{S}$ . Для всех исследуемых операторов проведено исследование того, как меняются относительный и абсолютные вклады в дифференциальные сечения линейных и квадратичных компонент в зависимости от  $\hat{S}$ .
- Впервые продемонстрировано, что для некоторых операторов с увеличением  $\hat{S}$  растёт относительный вклад квадратичной компоненты и при больших  $\hat{S}$  он становится сопоставим с вкладом линейной компоненты.
- Проведено исследование поведения соответствующих дифференциальных сечений близко к унитарной границе применимости подхода SMEFT.

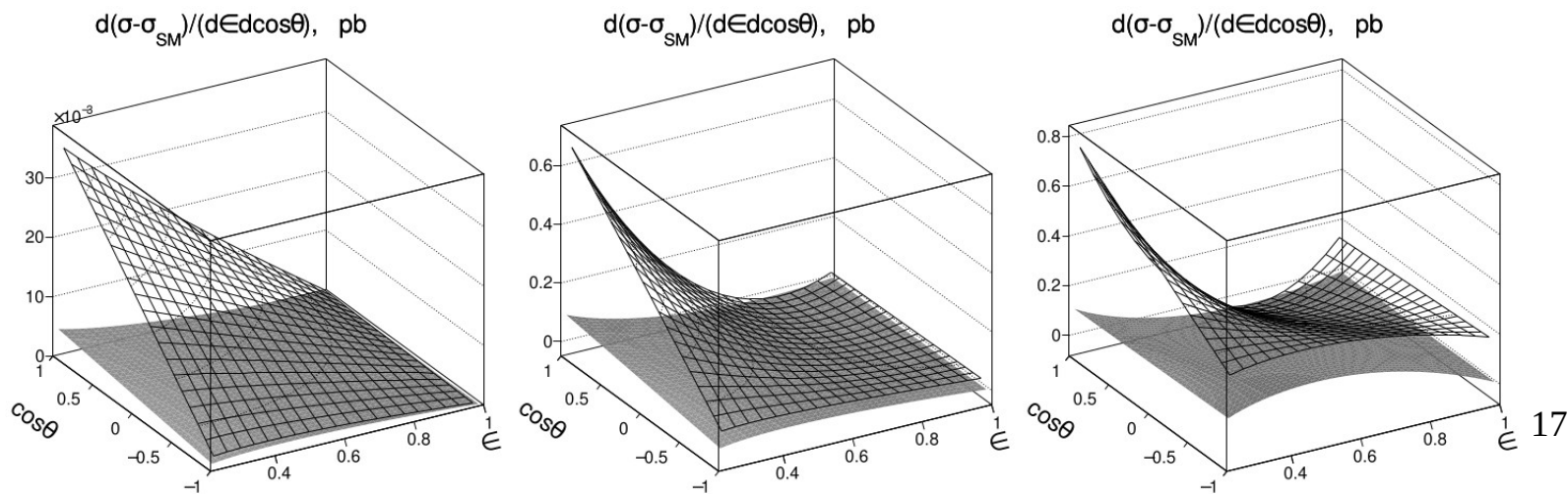
# Сравнительный анализ влияния членов разложения дифференциального сечения разных порядков по масштабу новой физики

Графики дважды дифференциального сечения  $d(\sigma - \sigma_{SM}) / (dE d\cos\theta)$ , соответствующего различным вкладам операторов SMEFT в зависимости от разных значений  $\hat{s}$ . Левый рисунок соответствует  $\hat{s} = 180 \text{ GeV}$ , средний рисунок соответствует  $\hat{s} = 340 \text{ GeV}$ , правый рисунок соответствует  $\hat{s} = 10000 \text{ GeV}$ . Темно серым цветом обозначено дифференциальное сечение, соответствующее квадратичному вкладу. Сетчатая поверхность соответствует сумме линейного и квадратичного вкладов.

$O_{\phi q}^{(3,33)}$ :  
(LV - сценарий)



$O_{uW}^{(33)}$ :  
(RT - сценарий)



## Результаты, полученные с помощью аналитических выражений для многомерных дифференциальных сечений

- Проведено исследование, того как кинематическое обрезание по  $\hat{S}$ , обусловленное унитарным ограничением меняет поведение различных вкладов дифференциальных сечений.
- На основе полученных аналитических выражений для дифференциальных сечений были созданы программы для фитирования данных и измерения значений коэффициентов Вильсона для исследуемых операторов, а также определения точности этих измерений.
- На партонном уровне проведены первые оценки того, как точность измерения коэффициентов Вильсона зависит от обрезаний по  $\hat{S}$  для процессов одиночного рождения топ кварка.
- Подобраны оптимальные значения обрезаний по  $\hat{S}$  для увеличения статистической значимости вкладов аномальных операторов по отношению к СМ и улучшения точности измерения аномальных параметров.

$L, fb^{-1}$	$\delta Ref_{LV} / \delta Ref_{RV}$	$\delta Ref_{LV} / \delta Ref_{LT}$	$\delta Ref_{LV} / \delta Ref_{RT}$
30	$6.9 \cdot 10^{-4} / 1.2 \cdot 10^{-2}$	$8.1 \cdot 10^{-4} / 5.0 \cdot 10^{-3}$	$1.6 \cdot 10^{-3} / 2.5 \cdot 10^{-3}$
300	$1.9 \cdot 10^{-4} / 4.7 \cdot 10^{-3}$	$2.5 \cdot 10^{-4} / 1.9 \cdot 10^{-3}$	$5.6 \cdot 10^{-4} / 8.7 \cdot 10^{-4}$
3000	$5.9 \cdot 10^{-5} / 6.8 \cdot 10^{-4}$	$8.0 \cdot 10^{-5} / 8.0 \cdot 10^{-4}$	$1.6 \cdot 10^{-4} / 2.4 \cdot 10^{-4}$

Работа поддержана грантом Российского научного фонда номер 22-12-00152.